

УДК 621.922.3

*N. A. Старовойтов*

## ЭКСПЕРИМЕНТАЛЬНЫЕ ИССЛЕДОВАНИЯ ЭФФЕКТИВНОСТИ ПОДДЕРЖАНИЯ ПОСТОЯННОЙ СКОРОСТИ РЕЗАНИЯ НА АБРАЗИВНО-ОТРЕЗНЫХ СТАНКАХ С КАЧАЮЩЕЙСЯ ШПИНДЕЛЬНОЙ БАБКОЙ

UDC 621.922.3

*N. A. Starovoitov*

## EXPERIMENTAL STUDIES OF THE EFFICIENCY OF MAINTAINING CONSTANT CUTTING SPEED ON ABRASIVE CUT-OFF MACHINES WITH A ROTATING SPINDLE ASSEMBLY

### Аннотация

Приведены результаты экспериментальных исследований повышения эффективности абразивно-отрезных станков с качающейся шпиндельной бабкой с поддержанием постоянной скорости резания при разрезании заготовок круглого профиля. Установлено, что поддержание постоянной скорости резания при износе абразивно-отрезного круга и применение привода с передаточным отношением между шпинделем и ротором электродвигателя 1:1 приводят к повышению коэффициента шлифования в среднем в 1,25...1,35 раза по сравнению со станком с исходными конструктивными параметрами.

### Ключевые слова:

абразивно-отрезной круг, коэффициент шлифования, виброперемещение.

### Abstract

The paper presents the results of experimental studies of improving the efficiency of abrasive cut-off machines with a rotating spindle assembly maintaining a constant cutting speed when cutting-off workpieces of round profile. It was found that maintaining a constant cutting speed during the wear of an abrasive cut-off wheel and using the drive with a 1:1 gear ratio between the spindle and the electric motor's rotor results in a 1,25...1,35-fold increase of the grinding coefficient compared to the machine with the original design parameters.

### Keywords:

abrasive cut-off wheel, G-ratio, vibration displacement.

### Введение

При разрезании заготовок абразивно-отрезные круги с постоянной частотой вращения интенсивно изнашиваются, в связи с этим происходит уменьшение скорости резания. Уменьшение скорости резания при постоянной величине подачи приводит к уменьшению коэффициента шлифования  $G$ , равного отношению площади разрезаемого сечения заготовки  $S_3$  к пло-

щади изношенной части круга  $S_u$ , что значительно увеличивает издергки процесса резания [1–3]. Коэффициент  $G$  зависит от величины подачи круга, при этом величина подачи круга  $v_{no}$  считается оптимальной, при ней коэффициент  $G$  будет максимальным [3].

$$G = \frac{S_3}{S_u}. \quad (1)$$



В [4, 5] приведены результаты отрицательного влияния различных частот вибропреремещения на износ круга, отличающихся от частоты вращения круга. В частности, установлено, что наличие частоты вибропреремещения круга 50 Гц, вызываемой дисбалансом ротора электродвигателя главного привода, не равной частоте вращения круга 65 Гц, увеличивает износ круга в абразивно-отрезном станке мод. 8В242 в среднем в 1,3...1,4 раза.

По данным, приведенным в [1], поддержание постоянной скорости резания при износе круга приводит к увеличению коэффициента шлифования в 1,1...1,2 раза, что может значительно повысить эффективность процесса резания.

В [3] установлено, что с уменьшением длины дуги контакта при одной и той же подаче коэффициент шлифования увеличивается. Можно предположить, что с уменьшением длины дуги контакта оптимальная подача будет также увеличиваться.

При разрезании круглых заготовок оптимальная подача круга выбирается для максимальной дуги контакта и всегда будет меньше оптимальной подачи для меньших длин дуг контакта при врезании круга и на выходе круга из заготовки, что снижает эффективность процесса резания.

Можно предположить, что увеличение скорости подачи круга на входе и выходе круга из круглой заготовки может привести к уменьшению виброскорости круга из-за увеличения демпфирования силами резания и некоторому уменьшению износа круга, а также к повышению производительности. Это предположение требует экспериментальной проверки.

Исследования проводились в лаборатории СКБ ОЦ ОАО «СтанкоГомель».

Целью работы является экспериментальное исследование конструктивных решений по модернизации абразивно-отрезного станка мод. 8В242

с учетом приведенных рекомендаций, направленных на повышение эффективности процесса резания.

### **Постановка задачи и методика исследования**

Экспериментальная проверка эффективности конструктивных решений и рекомендаций, направленных на уменьшение износа абразивно-отрезных кругов и повышения производительности процесса резания, производилась на абразивно-отрезном станке мод. 8В242, в конструкцию которого были внесены следующие изменения (рис. 1).

Станок мод. 8В242 до модернизации имел нерегулируемый главный привод мощностью 30 кВт с частотой вращения электродвигателя 3000 об/мин ( $50 \text{ c}^{-1}$ ) и частотой вращения шпинделя 3820 об/мин ( $64 \text{ c}^{-1}$ ). Необходимая частота вращения шпинделя достигалась за счет применения зубчатых шкивов, установленных на валу электродвигателя и шпинделе с соотношением зубьев 34/26 соответственно, что соответствовало начальной скорости резания 80 м/с кругом диаметром 400 мм. Момент с вала электродвигателя на вал шпинделя передавался с помощью плоскозубчатого ремня.

На первом этапе была проведена следующая модернизация.

Для поддержания постоянной скорости резания 80 м/с при износе круга 1 был установлен частотный преобразователь ЭКТ-63/380-У4 для увеличения частоты вращения круга электродвигателем 6 главного привода. В станке дополнительно был установлен на станине фотоимпульсный датчик энкодэр 11 мод. А58-Ф-5000-5в, на валу которого закреплена шестерня 12. Шестерня 12 датчика 11 находится в зацеплении с шестерней 10, неподвижно закрепленной на корпусе шпиндельной бабки 3. Момент с вала электродвигателя 6 через зубчатый шкив 5 передается на шкив

шпинделя 2 через плоскозубчатый ремень 4. На валу ротора электродвигателя 6 для измерения его частоты вращения был установлен фотоимпульсный

датчик энкодэр 13 мод. А58-Ф-500-5в. Также на порядок до  $1,5 \cdot 10^8$  Н/м была ужесточена нижняя опора гидроцилиндра 9.

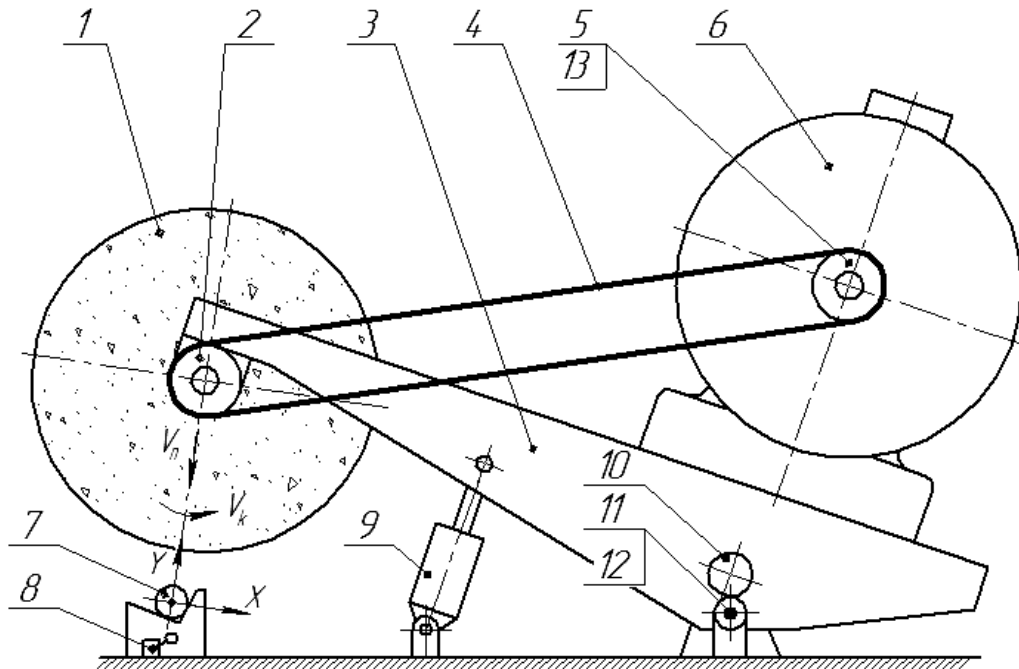


Рис. 1. Схема конструкции абразивно-отрезного станка мод. 8В242

Подача круга 1 при разрезании заготовки 7 осуществлялась с помощью гидроцилиндра 9 до касания кромкой круга датчика реверса подачи 8. При срабатывании датчика реверса подачи 8 считывался цифровой сигнал с датчика 11 и преобразовывался цифровым аналоговым преобразователем (ЦАП) в аналоговый сигнал задания на увеличение частоты вращения ротора электродвигателя 6 и определения значения величины подачи  $v_n$ . Во время отвода круга 1 увеличивалась частота вращения пропорционально его износу, что обеспечивало поддержание начальной скорости резания, равной 80 м/с. Цифровой сигнал с датчика 13 с помощью АЦП преобразовывался в аналоговое значение частоты вращения ротора электродвигателя 6.

Для чистоты эксперимента все заготовки из стали 45 ГОСТ 1050–2013 раз-

резались абразивно-отрезными кругами марки 41-400x4x32 14A 80-Н 41-43BF ГОСТ 21963–2002. Виброперемещение  $a_k$  шпинделя с кругом измерялось на корпусе шпинделя в непосредственной близости от круга с помощью виброизмерительной многоканальной аппаратуры ВМ-1 с индуктивными датчиками МВ-27. Величина подачи  $v_n$ , частота вращения круга  $f_k$  и время резания  $t_p$  отображались с помощью многоканального устройства цифровой индикации CS-300 с АЦП и процессором. Для определения численного значения виброперемещения  $a_k$  использовался анализатор осцилограмм, построенный на базе компьютерного комплекса. Анализатор включает в себя многоканальные устройства преобразования цифрового сигнала в аналоговый (ЦАП) с дальнейшим частотным анализом с помощью программы Visual Analyzer 1.3, работающей в среде Windows.

Начальный  $D_{\text{кн}}$  и конечный  $D_{\text{кк}}$  диаметры круга при его износе замерялись штангенциркулем с цифровой индикацией с разрешением 0,01 мм. Площадь износа  $S_u$  круга вычислялась по формуле

$$S_u = \pi(D_{\text{кн}}^2 / 4 - D_{\text{кк}}^2 / 4). \quad (2)$$

При постоянной частоте вращения круга  $n_k$  средняя скорость резания  $V_k$  круга рассчитывалась по формуле

$$V_k = [\pi(D_{\text{кн}} + D_{\text{кк}}) / 2]n_k. \quad (3)$$

Для определения оптимальной подачи  $v_{no}$  и соответствующего ей коэффициента шлифования  $G$  (рис. 2) разрезались заготовки диаметрами 20, 40 и 60 мм с начальной скоростью резания 80 м/с, с постоянной частотой вращения круга, равной 64  $\text{с}^{-1}$ . Разрезание заготовок производилось на станке до модернизации. На валу электродвигателя главного привода и шпинделе

были установлены шкивы с соотношением зубьев 34/26 соответственно. Чтобы избежать влияния уменьшения скорости резания при износе круга, разрезание проводилось новым кругом диаметром 400 мм, не более 3...4 резов.

Установлено (см. рис. 2), что для заготовки диаметром  $b_3 = 0,02$  м соответствует  $v_{no} = 0,067$  м/с, при которой максимальный  $G = 1,92$ , диаметром  $b_3 = 0,04$  м –  $v_{no} = 0,022$  м/с, при которой максимальный  $G = 1,59$ , диаметром  $b_3 = 0,06$  м –  $v_{no} = 0,0136$  м/с, при которой максимальный  $G = 1,38$ .

Для определения зависимости коэффициента шлифования  $G$  (рис. 3), от уменьшения скорости резания  $V_k$  за счет износа круга при постоянной частоте вращения круга 64  $\text{с}^{-1}$  и ротора электродвигателя 50  $\text{с}^{-1}$  производилось разрезание заготовок 0,02; 0,04 и 0,06 м с оптимальной подачей до полного износа круга. На валу электродвигателя главного привода и шпинделе были установлены шкивы с соотношением зубьев 34/26 соответственно.

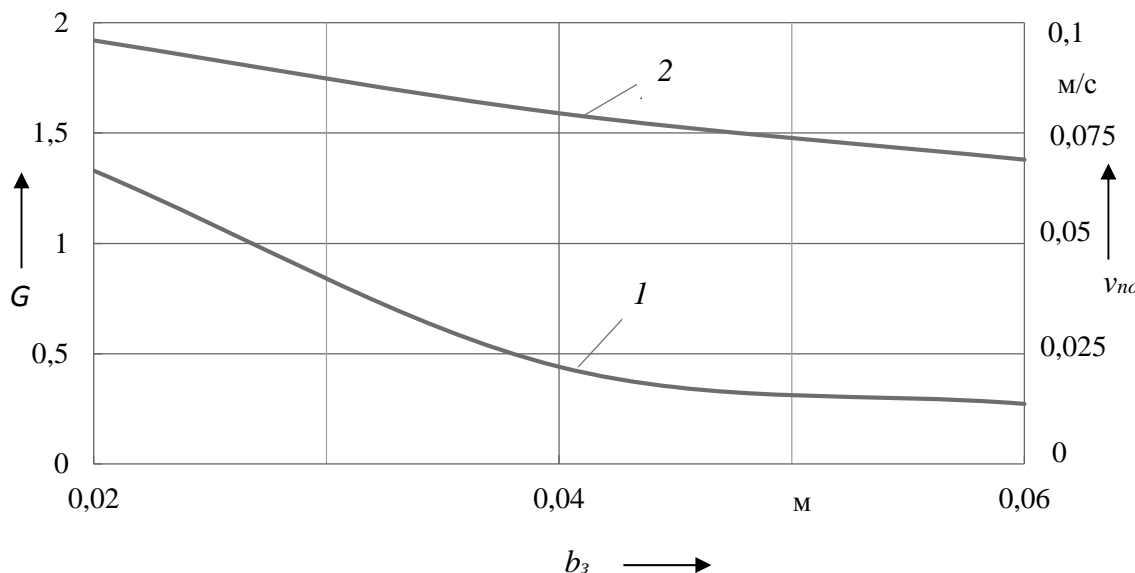


Рис. 2. Зависимость оптимальной подачи  $v_{no}$  (1) и коэффициента шлифования  $G$  (2) от диаметра разрезаемой заготовки  $b_3$



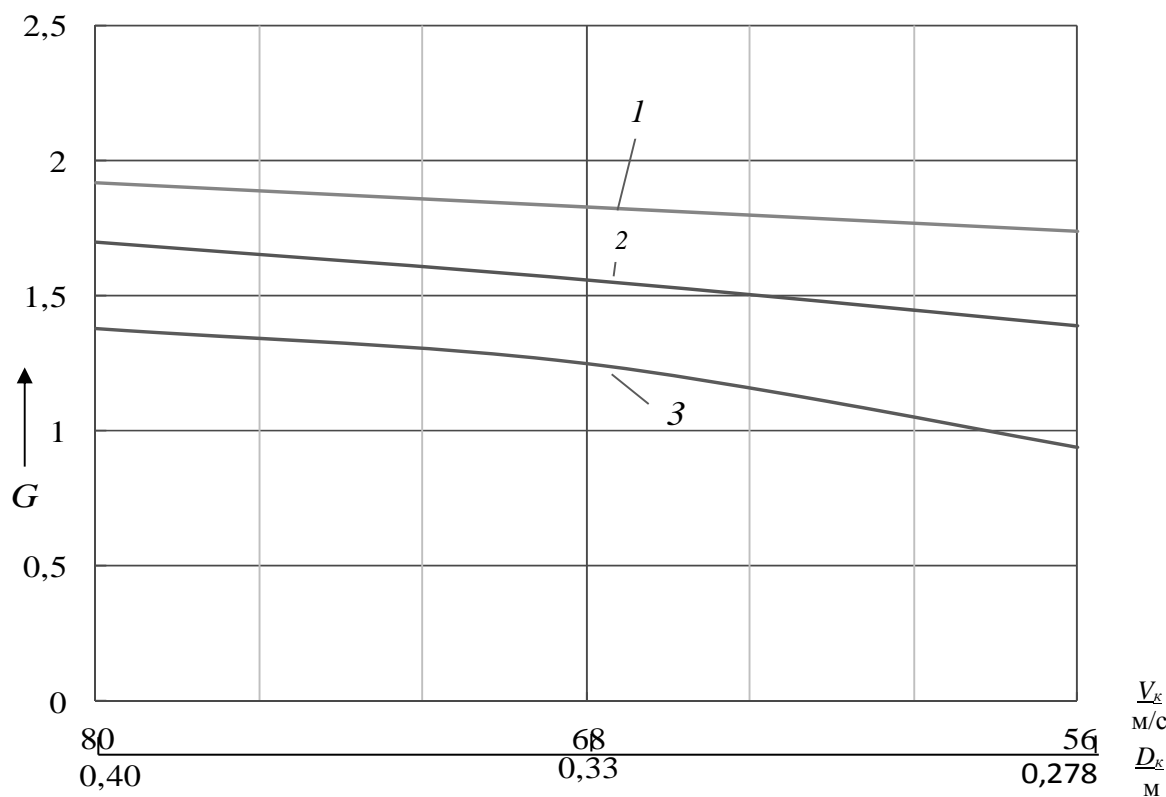


Рис. 3. Зависимость коэффициента шлифования  $G$  от скорости резания  $V_\kappa$  при износе круга  $D_\kappa$ :  
1 – при разрезании заготовки диаметром 0,02 м с подачей  $v_n = 0,067$  м/с; 2 – при разрезании заготовки диаметром 0,04 м с подачей  $v_n = 0,022$  м/с; 3 – при разрезании заготовки диаметром 0,06 м с подачей  $v_n = 0,0136$  м/с

На основании рис. 3 можно сделать следующие выводы.

При износе круга и вследствие этого уменьшении скорости резания до  $V_\kappa = 56$  м/с при разрезании заготовки диаметром 0,02 м коэффициент шлифования  $G$  уменьшается в 1,1 раза, при разрезании заготовки диаметром 0,04 м – в 1,22 раза, при разрезании заготовки диаметром 0,06 м – в 1,47 раза.

При разрезании заготовок диаметром 0,02 м средний коэффициент шлифования  $G = 1,83$ , диаметром 0,04 м –  $G = 1,39$ , диаметром 0,06 м –  $G = 1,19$ .

Для определения зависимости коэффициента шлифования  $G$  (рис. 4) от диаметра разрезаемой заготовки  $b_3$  при постоянной скорости резания  $V_\kappa = 80$  м/с, поддерживаемой за счет увеличения частоты вращения круга при его износе, производилось разрезание заготовок

диаметрами 0,02, 0,04 и 0,06 м до полного износа круга. При разрезании заготовок для каждого диаметра выбиралась оптимальная подача. На валу электродвигателя главного привода и шпинделе были установлены шкивы с соотношением зубьев 34/26 соответственно.

На основании рис. 4 можно сделать следующие выводы.

При поддержании постоянной скорости резания  $V_\kappa = 80$  м/с за счет увеличения частоты вращения круга  $f_\kappa$  при его износе при разрезании заготовки диаметром 0,02 м коэффициент шлифования в среднем  $G = 1,96$ , при разрезании заготовки диаметром 0,04 м –  $G = 1,59$ , при разрезании заготовки диаметром 0,06 м –  $G = 1,38$ . Коэффициент шлифования изменялся в пределах 1 % во всем диапазоне частот вращения круга.

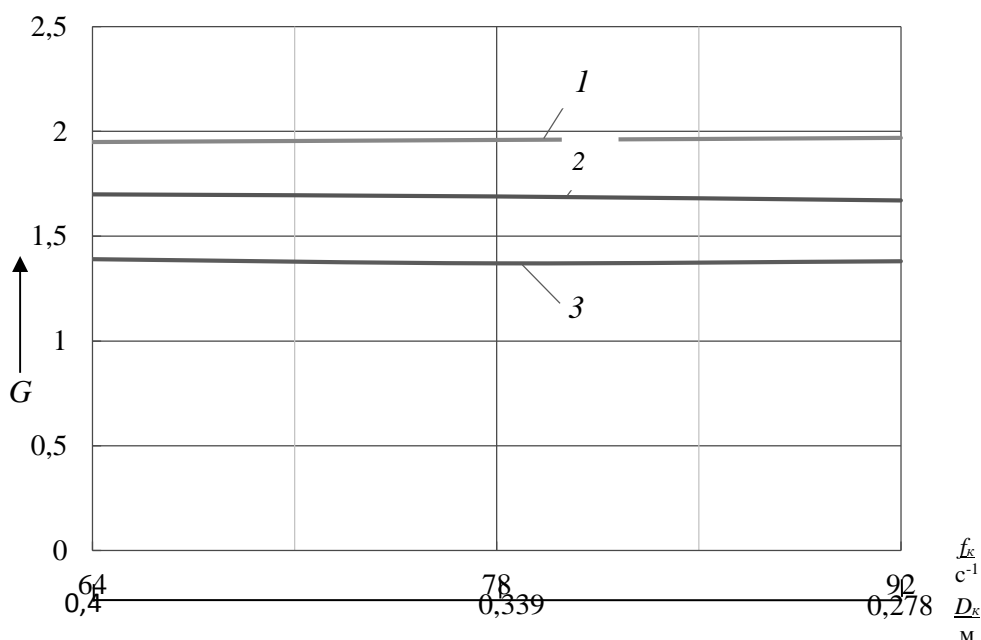


Рис. 4. Зависимость коэффициента шлифования  $G$  от частоты вращения круга  $f_k$  диаметром  $D_k$  при постоянной скорости резания  $V_k = 80 \text{ м/с}$ : 1 – при разрезании заготовки диаметром 0,02 м с подачей  $v_n = 0,067 \text{ м/с}$ ; 2 – при разрезании заготовки диаметром 0,04 м с подачей  $v_n = 0,022 \text{ м/с}$ ; 3 – при разрезании заготовки диаметром 0,06 м с подачей  $v_n = 0,0136 \text{ м/с}$

Сравнивая результаты резания без поддержания постоянной скорости резания (см. рис. 3) с результатами резания с поддержанием постоянной скорости резания (см. рис. 4), можно сделать выводы, что поддержание постоянной скорости резания  $V_k$  при разрезании заготовок диаметром 0,02 м увеличивает коэффициент шлифования  $G$  в 1,07 раза, диаметром 0,04 м – в 1,1 раза, диаметром 0,06 м – в 1,16 раза.

Необходимо отметить, что незначительное повышение коэффициента шлифования  $G$  при поддержании постоянной скорости резания  $V_k$ , вероятно, связано с возрастанием влияния амплитуды колебаний, вызванной дисбалансом ротора электродвигателя главного привода на частоте, отличающейся от частоты вращения круга [4].

Для определения зависимости ко-

эффициента шлифования  $G$  (рис. 5) от частоты вращения круга  $f_k$  диаметром  $D_k$  при постоянной скорости резания  $V_k = 80 \text{ м/с}$ , поддерживаемой за счет увеличения частоты вращения круга  $f_k$  при его износе, производилось разрезание заготовок диаметром 0,02; 0,04 и 0,06 м до полного износа круга. При разрезании заготовок для каждого диаметра соответственно выбиралась оптимальная подача:  $v_n = 0,067 \text{ м/с}$ ,  $v_n = 0,022 \text{ м/с}$ ,  $v_n = 0,0136 \text{ м/с}$ . Для исключения частоты колебаний ротора 50 Гц, возбуждаемой дисбалансом ротора электродвигателя, на валу электродвигателя был установлен шкив с числом зубьев 21, равным числу зубьев шкива шпинделя. Начальная частота шпинделя и ротора электродвигателя была равна  $64 \text{ c}^{-1}$ , что соответствовало постоянной скорости резания 80 м/с.

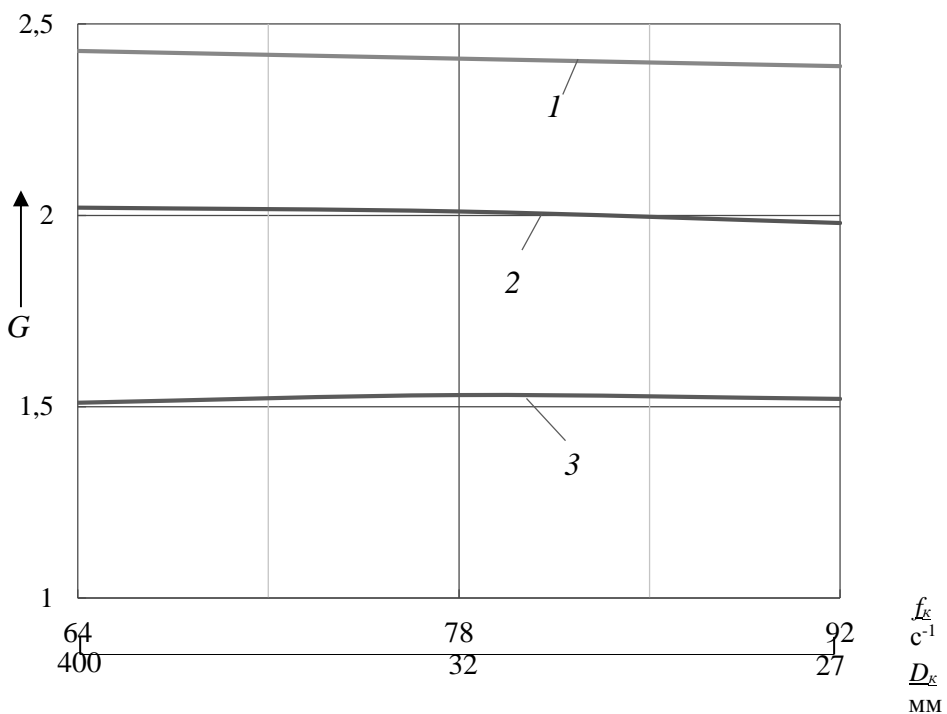


Рис. 5. Зависимость коэффициента шлифования  $G$  от частоты вращения  $f_k$  круга диаметром  $D_k$  при постоянной скорости резания  $V_k = 80 \text{ м/с}$ : 1 – при разрезании заготовки диаметром 0,02 м с подачей  $v_n = 0,067 \text{ м/с}$ ; 2 – при разрезании заготовки диаметром 0,04 м с подачей  $v_n = 0,022 \text{ м/с}$ ; 3 – при разрезании заготовки диаметром 0,06 м с подачей  $v_n = 0,0136 \text{ м/с}$

На основании рис. 5 можно сделать следующие выводы.

При поддержании постоянной скорости резания 80 м/с при износе круга и одинаковой начальной частоте вращения круга и ротора электродвигателя главного привода, равной 64  $\text{с}^{-1}$ , коэффициент шлифования  $G$  при разрезании заготовки диаметром 0,02 м увеличивается в 1,23 раза, при разрезании заготовки диаметром 0,04 м – в 1,18 раза, при разрезании заготовки диаметром 0,06 м – в 1,11 раза.

Для проверки влияния величины амплитуды виброперемещения круга  $a_k$  (рис. 6) на износ круга при частоте 64 Гц, равной частоте вращения круга, и частоте 50 Гц, равной частоте вращения электродвигателя, разрезались заготовки диаметром 0,06 м из стали 45 ГОСТ 1050–2013 кругами марки 41-400x4x32 14A 80-N 41-43BF ГОСТ 21963–2002 с постоянной скоростью резания  $V_k = 80 \text{ м/с}$ , подачей кру-

га  $v_n = 0,0136 \text{ м/с}$ , без охлаждения. Для измерения амплитуды виброперемещения в точке на шпинделе вблизи круга использовалась виброизмерительная многоканальная аппаратура ВМ-1 с индуктивными датчиками МВ-27.

Чтобы избежать влияния дисбаланса и увеличения частоты вращения круга при его износе, круг при резании изнашивался незначительно, в пределах 400...398 мм. Для изменения амплитуды виброперемещения использовался вибратор в виде электродвигателя постоянного тока с регулируемой частотой вращения, установленный на корпусе шпинделя. Изменение амплитуды виброперемещения достигалось за счет дисбалансных грузов, закрепленных на валу ротора электродвигателя.

Сначала разрезались заготовки без дисбаланса. В результате измерения было установлено, что виброперемещение  $a_k$  на частоте вращения круга 64  $\text{с}^{-1}$

без дисбаланса равно в среднем  $8 \cdot 10^{-6}$ . Затем с помощью дисбалансных грузов амплитуда увеличивалась в 2; 3 и 4 раза, при этом возмущающая частота вибра-

тора 64 Гц была равна частоте вращения круга  $64 \text{ с}^{-1}$ . Далее проводилась такая же серия экспериментов при возмущающей частоте вибратора, равной 50 Гц.

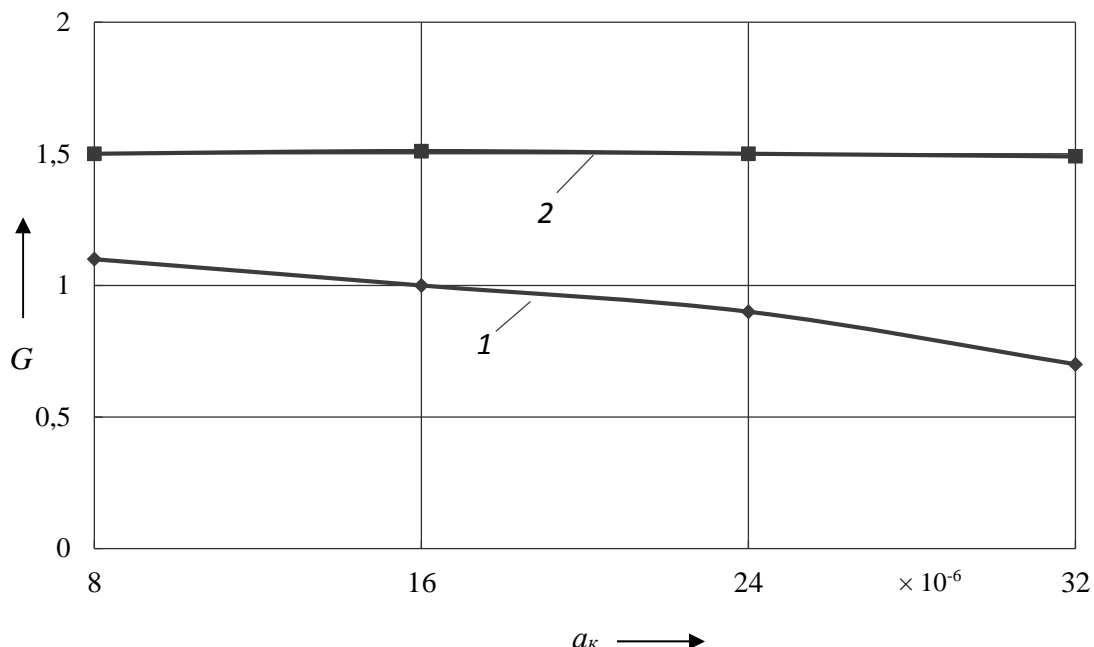


Рис. 6. Зависимости коэффициента шлифования  $G$  от амплитуды колебаний круга  $a_k$  на частотах 50 Гц (1) и 64 Гц (2), при разрезании заготовки диаметром 0,06 м с постоянной скоростью резания 80 м/с, подачей круга  $v_n = 0,0136$  м/с, без охлаждения

На основании рис. 6 можно сделать следующие выводы.

При увеличении амплитуды виброперемещения круга  $a_k$  с частотой колебаний 64 Гц, равной частоте вращения круга  $64 \text{ с}^{-1}$ , коэффициент шлифования  $G$  изменяется в пределах 1 %.

При увеличении амплитуды виброперемещения  $a_k$  с частотой колебаний 50 Гц, не равной частоте вращения круга  $64 \text{ с}^{-1}$ , коэффициент шлифования уменьшался почти линейно с увеличением амплитуды виброперемещения. При увеличении амплитуды виброперемещения  $a_k$  в 2 раза коэффициент шлифования уменьшался в среднем на 9 %.

### Заключение

1. Применение в абразивно-отрезных станках регулируемого глав-

ного привода с передаточным отношением 1 : 1 между ротором электродвигателя и шпинделем для поддержания постоянной скорости резания 80 м/с приводит к уменьшению износа круга в среднем 1,25...1,35 раза.

2. При увеличении амплитуды виброперемещения круга с частотой колебаний 64 Гц, равной частоте вращения круга  $64 \text{ с}^{-1}$ , коэффициент шлифования  $G$  практически не изменяется. В связи с этим можно сделать вывод, что балансирование абразивно-отрезных кругов с точки зрения уменьшения их износа нецелесообразно.

3. При увеличении амплитуды виброперемещения с частотой колебаний 50 Гц, не равной частоте вращения круга  $64 \text{ с}^{-1}$ , коэффициент шлифования уменьшался почти линейно с увеличением амплитуды виброперемещения.



При увеличении амплитуды вибропреремещения в 2 раза коэффициент шлифо-

вания уменьшался в среднем на 9 %.

#### СПИСОК ИСПОЛЬЗОВАННОЙ ЛИТЕРАТУРЫ

1. Геллтсбергер, Х. Горячее отрезание шлифовальным кругом на сталепрокатных заводах. Современный технический уровень, тенденции / Х. Геллтсбергер // Современная техника Австрии: тез. докл. – Москва: Красная Пресня, 1981. – С. 8–12.
2. Старовойтов, Н. А. Исследование износа абразивно-отрезных кругов и выброскорости их колебаний при различных режимах резания / Н. А. Старовойтов, Е. Н. Демиденко, С. И. Красюк // Вестн. Белорус.-Рос. ун-та. – 2018. – № 1 (58). – С. 61–68.
3. Старовойтов, Н. А. Анализ путей повышения эффективности абразивно-отрезных станков с качающейся шпиндельной бабкой / Н. А. Старовойтов, С. В. Рогов // Современные проблемы машиноведения: материалы XII Междунар. науч.-техн. конф. – Гомель: ГГТУ им. П. О. Сухого, 2018. – С. 68–69.
4. Старовойтов, Н. А. Математическое моделирование процесса износа абразивно-отрезных кругов при гармонических колебаниях / Н. А. Старовойтов // Материалы. Технологии. Инструменты. – 2015. – Т. 20, № 2. – С. 41–45.
5. Старовойтов, Н. А. Идентификация математической модели износа абразивно-отрезного круга / Н. А. Старовойтов, С. В. Рогов // Современные проблемы машиноведения: материалы XI Междунар. науч.-техн. конф. – Гомель: ГГТУ им. П. О. Сухого, 2016. – С. 72–73.
6. Балакшин, Б. С. Адаптивное управление станками / Б. С. Балакшин. – Москва: Машиностроение, 1973. – 688 с.
7. Володько, Г. Ф. Выбор мощности привода абразивно-отрезных станков / Г. Ф. Володько, Н. Н. Платонов // Станки и инструмент. – 1979. – № 2 . – С. 17–18.

*Статья сдана в редакцию 20 июня 2019 года*

**Николай Андреевич Старовойтов**, канд. техн. наук, доц., Гомельский государственный технический университет им. П. О. Сухого.

**Nikolai Andreyevich Starovoitov**, PhD (Engineering), Associate Prof., Pavel Sukhoi State Technical University of Gomel.